

УДК 536. 2(075)

## ОБ ОДНОМ МЕТОДЕ РАСЧЕТА ТЕПЛООБМЕНА В ДВИЖУЩЕЙСЯ ЖИДКОСТИ С УЧЕТОМ ДИССИПАЦИИ ЭНЕРГИИ

И. В. Кудинов, А. В. Еремин, Р. М. Клеблеев, В. К. Ткачев

Самарский государственный технический университет, 443100 Самара, Россия  
E-mails: igor-kudinov@bk.ru, a.v.eremin@list.ru, uio1123@list.ru, tvk93@yandex.ru

С использованием дополнительной искомой функции и дополнительных граничных условий в интегральном методе теплового баланса и с учетом диссипации энергии при изменяющемся по продольной координате граничном условии первого рода получено приближенное аналитическое решение задачи о теплообмене для движущейся в цилиндрическом канале жидкости. Показано, что применение дополнительной искомой функции, определяющей изменение температуры по продольной переменной в центре канала, позволяет свести решение уравнения в частных производных к интегрированию обыкновенного дифференциального уравнения. Дополнительные граничные условия найдены таким образом, чтобы при их выполнении для искомого решения удовлетворялось дифференциальное уравнение в граничных точках.

**Ключевые слова:** теплообмен в движущейся жидкости, переменные граничные условия, диссипация энергии, дополнительная искомая функция, дополнительные граничные условия, интегральный метод теплового баланса.

DOI: 10.15372/PMTF20200409

Получение точных аналитических решений задач о теплообмене для движущихся в круглых каналах жидкостей с учетом диссипации энергии при переменной по продольной координате температуре стенки, ввиду нелинейности этих задач, не представляется возможным. Практический интерес представляет получение их приближенных аналитических решений с точностью, достаточной для инженерных приложений. В теории теплопроводности используются методы, основанные на определении фронта температурного возмущения (глубины прогретого слоя) [1–6]. К их числу относится интегральный метод теплового баланса, при использовании которого процесс теплопроводности разделяется на две стадии по времени (для движущихся жидкостей — по продольной переменной), первая из которых характеризуется постепенным продвижением фронта температурного возмущения от поверхности тела к его центру, вторая — изменением температуры во всей области изменения пространственной переменной (для движущихся жидкостей — поперечной координаты). При использовании интегрального метода получаемые решения недостаточно точны. Для получения более точного решения в работах [7–10] использовались дополнительные граничные условия. Показано, что с увеличением числа приближений  $n$  время перемещения фронта температурного возмущения от поверхности тела до

---

Работа выполнена при финансовой поддержке Российского фонда фундаментальных исследований (код проекта 20-38-70021).

© Кудинов И. В., Еремин А. В., Клеблеев Р. М., Ткачев В. К., 2020

центра уменьшается. В пределе, при  $n \rightarrow \infty$ , скорость перемещения фронта возмущения также стремится к бесконечному значению, что свидетельствует о распространении тепла с бесконечной скоростью. Отсюда следует, что с увеличением числа приближений время первой стадии процесса уменьшается, а время второй стадии увеличивается. Поэтому решения, полученные для первой стадии, можно использовать лишь при малых и сверхмалых значениях времени (для движущихся жидкостей — продольной пространственной переменной). С учетом сказанного выше в настоящей работе рассматривается метод получения решения, позволяющий избежать рассмотрения первой стадии процесса.

**1. Постановка задачи.** Метод решения задачи основан на использовании дополнительной искомой функции и дополнительных граничных условий. С помощью этого метода будем решать квазистационарную задачу о теплообмене при ламинарном течении жидкости в цилиндрическом канале в случае, когда температура стенки является линейной функцией продольной переменной. Примем следующие допущения: течение жидкости является установившимся (профиль скорости не меняется по длине канала); жидкость является несжимаемой, с постоянными физическими свойствами; внутренние источники тепла, не связанные с диссипацией энергии, отсутствуют [11, 12]. С учетом принятых допущений задача имеет вид (рис. 1)

$$\omega_\xi \frac{\partial t(\xi, \eta)}{\partial \eta} = \frac{a}{\xi} \frac{\partial t(\xi, \eta)}{\partial \xi} + a \frac{\partial^2 t(\xi, \eta)}{\partial \xi^2} + \frac{\mu}{c\rho} \left( \frac{d\omega_\xi}{d\xi} \right)^2 \quad (\eta > 0, \quad 0 < \xi < r_0); \quad (1.1)$$

$$t(\xi, 0) = t_0; \quad (1.2)$$

$$\frac{\partial t(0, \eta)}{\partial \xi} = 0; \quad (1.3)$$

$$t(r_0, \eta) = t_0 + B\eta, \quad (1.4)$$

где  $t$  — температура;  $\eta$  — продольная координата;  $\xi$  — поперечная координата;  $a$  — температуропроводность жидкости;  $\mu$  — динамическая вязкость;  $c$  — теплоемкость;  $\rho$  — плотность;  $\omega_\xi = 2\omega_{\text{cp}}(1 - \xi^2/r_0^2)$  — распределение скорости по координате  $\xi$ ;  $r_0$  — радиус трубы;  $t_0$  — температура жидкости на входе в участок трубы с установившимся профилем скорости;  $B = dt_{\text{ст}}/d\eta$  — коэффициент интенсивности изменения температуры стенки по длине участка трубы, на котором происходит теплообмен;  $t_{\text{ст}}$  — температура стенки;  $\omega_{\text{cp}} = 0,5\omega_{\text{max}}$  — средняя скорость;  $\omega_{\text{max}} = \Delta p r_0^2 / (8\mu l)$  — максимальная скорость;  $\Delta p$  — перепад давления по длине рассматриваемого участка трубы;  $l$  — длина трубы.

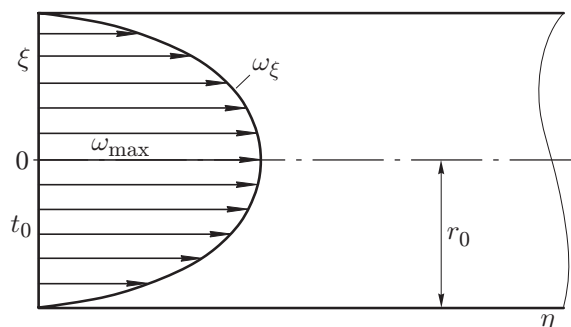


Рис. 1. Схема установившегося ламинарного течения жидкости в круглой трубе

Введем следующие обозначения:

$$\Theta = \frac{t - t_0}{t_0}, \quad y = \frac{\xi}{r_0}, \quad x = \frac{\eta a}{2\omega_{\text{ср}} r_0^2} \quad (1.5)$$

( $\Theta$  — безразмерная температура;  $y, x$  — безразмерные поперечная и продольная координаты).

С учетом (1.5) задача (1.1)–(1.4) принимает вид

$$y(1 - y^2) \frac{\partial \Theta(y, x)}{\partial x} = \frac{\partial \Theta(y, x)}{\partial y} + y \frac{\partial^2 \Theta(y, x)}{\partial y^2} + Dy^3 \quad (x > 0, \quad 0 < y < 1); \quad (1.6)$$

$$\Theta(y, 0) = 0; \quad (1.7)$$

$$\frac{\partial \Theta(0, x)}{\partial y} = 0; \quad (1.8)$$

$$\Theta(1, x) = Ax \quad (1.9)$$

( $A = 2B\omega_{\text{ср}} r_0^2 / (at_0)$ ,  $D = 16\mu\omega_{\text{ср}}^2 / (\lambda t_0)$  — безразмерные комплексы).

**2. Построение аналитического решения.** Введем дополнительную искомую функцию

$$q(x) = \Theta(0, x), \quad (2.1)$$

характеризующую изменение температуры по продольной переменной на оси трубы (в точке  $y = 0$ ). Вследствие того что тепло распространяется с бесконечной скоростью, температура на оси трубы изменяется непосредственно после задания граничного условия на ее внутренней поверхности. Следовательно, аргумент функции  $q(x)$  изменяется во всем диапазоне значений пространственной переменной  $x$ . Поскольку температура в центре трубы является искомой величиной задачи (1.6)–(1.9), введение функции  $q(x)$  не меняет постановку задачи, но позволяет упростить получение ее приближенного аналитического решения.

Решение задачи (1.6)–(1.9) запишем в виде

$$\Theta(y, x) = A \left( x - \frac{1}{2} (1 - y^2) + \sum_{k=1}^n b_k(q) \varphi_k(y) \right), \quad (2.2)$$

где  $b_k(q)$  ( $k = \overline{1, n}$ ) — неизвестные коэффициенты;  $\varphi_k(y) = 1 - y^{2k}$  — координатные функции.

Для введенной системы координатных функций  $\varphi_k$  соотношение (2.2) удовлетворяет граничным условиям (1.8), (1.9). Неизвестные коэффициенты  $b_k(q)$  ( $k = \overline{1, n}$ ) находятся из соотношения (2.1) и некоторых дополнительных граничных условий, определяемых таким образом, чтобы при их выполнении для искомого решения в граничных точках  $y = 0$ ,  $y = 1$  в этих точках удовлетворялось уравнение (1.6). Заметим, что методы решения, для которых уравнение выполняется в граничных точках, рассматривались также в работах [13, 14].

В точке  $y = 0$  уравнение (1.6) приводится к граничному условию (1.8). Следовательно, при выполнении этого граничного условия для решения (2.2) в этой точке удовлетворяется уравнение (1.6). В работах [7–10, 13, 14] показано, что при выполнении уравнения в граничных точках оно также выполняется внутри рассматриваемой области. Точность выполнения зависит от числа приближений (числа используемых в данном приближении дополнительных граничных условий). В работах [7, 14] приводятся доказательства теорем, согласно которым выполнение уравнения на границах приводит к его выполнению внутри области.

Для получения дополнительного граничного условия в точке  $y = 1$  продифференцируем условие (1.9) по переменной  $x$ :  $\partial\Theta(1, x)/\partial x = A$ . Подставляя полученное соотношение в уравнение (1.6), получаем дополнительное граничное условие

$$\frac{\partial\Theta(1, x)}{\partial y} + \frac{\partial^2\Theta(1, x)}{\partial y^2} + D = 0. \quad (2.3)$$

В точке  $y = 0$  необходимо также использовать дополнительные граничные условия, полученные из соотношения (2.1). Продифференцируем соотношение (2.1) по переменной  $x$ :

$$\frac{\partial q(x)}{\partial x} = \frac{\partial\Theta(0, x)}{\partial x}. \quad (2.4)$$

С учетом уравнения (1.6) соотношение (2.4) принимает вид

$$\frac{\partial q(x)}{\partial x} = \frac{1}{y} \frac{\partial\Theta(0, x)}{\partial y} + \frac{\partial^2\Theta(0, x)}{\partial x^2}. \quad (2.5)$$

Раскрывая неопределенность в первом члене правой части соотношения (2.5) по правилу Лопиталья, получаем дополнительное граничное условие

$$\frac{\partial q(x)}{\partial x} = 2 \frac{\partial^2\Theta(0, x)}{\partial y^2}. \quad (2.6)$$

Продифференцируем соотношение (2.6) по переменной  $x$ :

$$\frac{\partial^2 q(x)}{\partial x^2} = 2 \frac{\partial}{\partial y^2} \left( \frac{\partial\Theta(0, x)}{\partial x} \right). \quad (2.7)$$

С учетом (2.4), (2.6) соотношение (2.7) сводится к дополнительному граничному условию

$$\frac{\partial^2 q(x)}{\partial x^2} = 4 \frac{\partial^4\Theta(0, x)}{\partial y^4}.$$

Аналогичным образом можно получить остальные дополнительные граничные условия [7–10].

Для получения решения в первом приближении подставим (2.2) в соотношение (2.1), ограничиваясь одним членом ряда. Для неизвестного коэффициента  $b_1(q)$  имеем алгебраическое линейное уравнение, из решения которого находим  $b_1(q) = q(x)/A - x + 0,5$ . С учетом найденного значения  $b_1(q)$  соотношение (2.2) принимает вид

$$\Theta(y, x) = Ax - (Ax - q(x))(1 - y^2). \quad (2.8)$$

Потребуем, чтобы соотношение (2.8) удовлетворяло не уравнению (1.6), а некоторому усредненному в диапазоне  $0 \leq y \leq 1$  уравнению, т. е. интегралу теплового баланса

$$\int_0^1 y(1 - y^2) \frac{\partial\Theta(y, x)}{\partial x} dy = \int_0^1 \left( \frac{\partial\Theta(y, x)}{\partial y} + y \frac{\partial^2\Theta(y, x)}{\partial y^2} + Dy^3 \right) dy. \quad (2.9)$$

Подставляя (2.8) в (2.9), после определения интегралов относительно неизвестной функции  $q(x)$  получаем обыкновенное дифференциальное уравнение

$$\frac{dq(x)}{dx} + 12q(x) - (12x - 0,5)A - 1,5D = 0. \quad (2.10)$$

Интегрируя уравнение (2.10), находим

$$q(x) = Ax + 0,125(D - A) + C e^{-12x}, \quad (2.11)$$

где  $C$  — постоянная интегрирования. Подставляя (2.11) в (2.8), получаем

$$\Theta(y, x) = Ax - (1 - y^2)((A - D)/8 - C e^{-12x}). \quad (2.12)$$

Для определения постоянной интегрирования составим невязку условия (1.7) и потребуем выполнения условия ортогональности невязки координатной функции  $\varphi_1(y) = 1 - y^2$ :

$$\int_0^1 \Theta(y, 0)(1 - y^2) dy = 0. \quad (2.13)$$

Подставляя (2.12) в (2.13), после определения интегралов относительно постоянной интегрирования получаем алгебраическое линейное уравнение, из решения которого находим

$$C = 0,125(A - D). \quad (2.14)$$

Соотношение (2.12) с учетом (2.14) представляет собой решение задачи (1.6)–(1.9) в первом приближении. Сравнение результатов расчетов по формуле (2.12) с решением задачи (1.6)–(1.9) с помощью метода конечных разностей показывает, что при  $0,1 \leq x \leq 1,0$  их различие не превышает 8 %.

Для проверки аналитического решения задачи (1.6)–(1.9) в отсутствие точного решения этой задачи с использованием метода прогонки было найдено ее численное решение. При этом в рассматриваемой области вводилась пространственная сетка с шагами  $\Delta y$ ,  $\Delta x$  по переменным  $x$  и  $y$  соответственно:

$$y_i = i \Delta y, \quad i = \overline{0, I}, \quad x_j = j \Delta x, \quad j = \overline{0, J}$$

( $I, J$  — число шагов по координатам  $y$  и  $x$ ). Использовалась пространственная сетка с шагами  $\Delta y = 0,02$ ,  $\Delta x = 10^{-5}$ .

Используя явную схему аппроксимации дифференциальных операторов, задачу (1.6)–(1.9) запишем в виде

$$y_i(1 - y_i^2) \frac{\Theta_i^{j+1} - \Theta_i^j}{\Delta x} = \frac{\Theta_{i+1}^j - \Theta_i^j}{\Delta y} + y_i \frac{\Theta_{i+1}^j - 2\Theta_i^j + \Theta_{i-1}^j}{\Delta y} + Dy_i^3, \\ \Theta_i^0 = 0, \quad \frac{\Theta_1^j - \Theta_0^j}{\Delta y} = 0, \quad \Theta_I^j = Ax_j.$$

Повышение точности решения обусловлено увеличением числа членов ряда (2.2). При получении решения во втором приближении подставим (2.2) (ограничиваясь двумя членами ряда) в соотношение (2.1) и дополнительное граничное условие (2.6). Для определения неизвестных коэффициентов  $b_k(q)$  ( $k = 1, 2$ ) получаем систему двух алгебраических уравнений, из решения которой находим  $b_1(q) = 0,5 - q'(x)/(4A)$ ;  $b_2(q) = (0,25q'(x) + q(x) - Ax)/A$ . С учетом найденных значений коэффициентов  $b_k(q)$  ( $k = 1, 2$ ) соотношение (2.2) принимает вид

$$\Theta(y, x) = Ax - \frac{A}{2}(1 - y^2) + \frac{1}{4}(2A - q')(1 - y^2) + \frac{1}{4}(q' + 4(q - Ax))(1 - y^4) \quad (2.15)$$

( $q' = dq(x)/dx$ ). Подставляя (2.15) в интеграл теплового баланса (2.9), получаем

$$\frac{1}{96}q'' + \frac{17}{24}q' + 4q + A\left(\frac{1}{24} - 4x\right) - \frac{D}{4} = 0 \quad (2.16)$$

( $q'' = d^2q(x)/dx^2$ ). Интегрируя уравнение (2.16), находим

$$q(x) = C_1 e^{-2x(17+\sqrt{193})} + C_2 e^{2x(-17+\sqrt{193})} + A\left(x - \frac{3}{16}\right) + \frac{D}{16}, \quad (2.17)$$

где  $C_1, C_2$  — постоянные интегрирования, определяемые из граничного условия (1.7). Составляя невязку (1.7) и требуя выполнения условия ее ортогональности координатным функциям  $\varphi_j(y)$  ( $j = 1, 2$ ), получаем

$$\int_0^1 \Theta(y, 0) \varphi_j(y) dy = 0 \quad (j = 1, 2). \quad (2.18)$$

Подставляя (2.15) в (2.18) с учетом (2.17), для определения постоянных интегрирования  $C_1, C_2$  получаем систему двух алгебраических линейных уравнений

$$\begin{aligned} -(\sqrt{193} + 1)C_1 + (\sqrt{193} - 1)C_2 - \frac{105}{42}A + D &= 0, \\ \frac{16}{315}\sqrt{193}(C_2 - C_1) - \frac{16}{105}(C_2 + C_1) - \frac{34}{315}A + \frac{2}{45}D &= 0, \end{aligned}$$

из решения которой следует  $C_1 = 0,0069D - 0,0029A$ ,  $C_2 = 0,1904A - 0,069D$ .

С учетом (2.17) и найденных значений постоянных интегрирования соотношение (2.15) представляет собой решение задачи (1.6)–(1.9) во втором приближении. Сравнение результатов расчетов по формуле (2.15) с решением задачи (1.6)–(1.9) с помощью численного метода показывает, что при  $0,01 \leq x \leq 1,00$  их различие не превышает 4 % (рис. 2, 3).

Для получения решения задачи (1.6)–(1.9) в третьем приближении подставим (2.2) (ограничиваясь тремя членами ряда) в соотношение (2.1) и дополнительные граничные условия (2.3), (2.6). Для неизвестных коэффициентов  $b_k(q)$  ( $k = 1, 2, 3$ ) имеем систему трех линейных алгебраических уравнений. После определения  $b_k(q)$  соотношение (2.2) принимает вид

$$\begin{aligned} \Theta(y, x) = Ax - \frac{q'}{4}(1 - y^2) - \frac{D + 36(Ax - q) - 8q'}{20}(1 - y^4) + \\ + \frac{D + 16(Ax - q) - 3q'}{20}(1 - y^6). \end{aligned} \quad (2.19)$$

Подставляя (2.19) в (2.9), находим

$$\frac{19}{480}q'' + \frac{79}{40}q' + 12q + \left(\frac{11}{40} - 12x\right)A - \frac{3}{4}D = 0. \quad (2.20)$$

Интегрируя уравнение (2.20), получаем

$$q(x) = C_1 e^{\mu_1 x} + C_2 e^{\mu_2 x} + \left(x - \frac{3}{16}\right)A + \frac{D}{16}, \quad (2.21)$$

где  $\mu_{1,2} = \mp 6(\sqrt{3201} \pm 79)/19$ .

Для определения постоянных интегрирования  $C_1, C_2$  составим невязку граничного условия (1.7) и потребуем выполнения условия ее ортогональности координатным функциям  $\varphi_1(y), \varphi_2(y)$ :

$$\int_0^1 \Theta(y, 0) \varphi_j(y) dy = 0 \quad (j = 1, 2). \quad (2.22)$$

Подставляя (2.19) в (2.22) с учетом (2.21) и определяя интегралы относительно  $C_1, C_2$ , получаем систему двух алгебраических уравнений, из решения которой находим  $C_1 = -0,01A + 0,017D$ ,  $C_2 = 0,196A - 0,0769D$ .

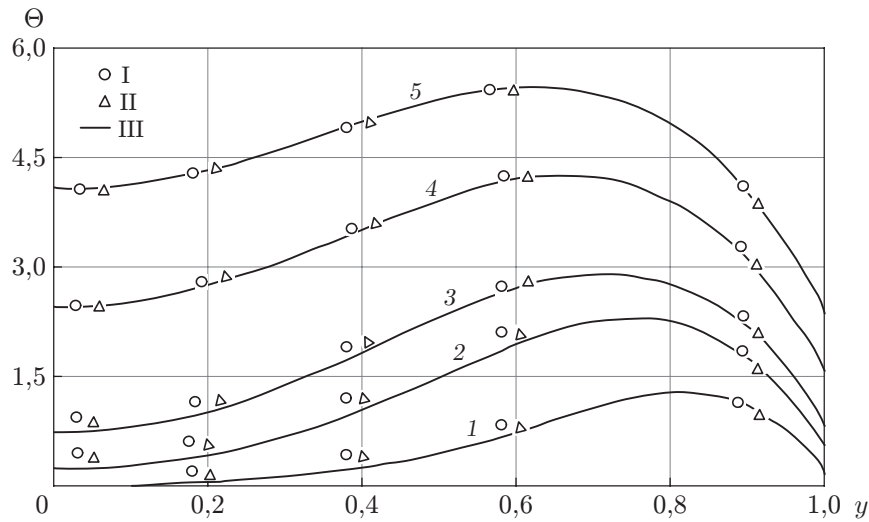


Рис. 2. Распределения температуры, полученные по формулам (2.15) (I), (2.19) (II) и при численном решении задачи (III) при  $A = 15$ ,  $D = 100$  и различных значениях  $x$ :

1 —  $x = 0,007$ , 2 —  $x = 0,030$ , 3 —  $x = 0,050$ , 4 —  $x = 0,100$ , 5 —  $x = 0,150$

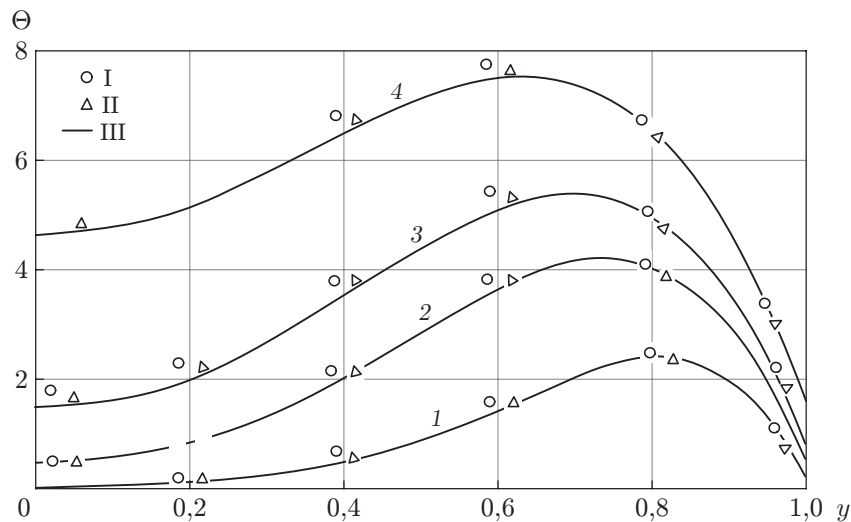


Рис. 3. Распределения температуры, полученные по формулам (2.15) (I), (2.19) (II) и при численном решении задачи (III) при  $A = 15$ ,  $D = 200$  и различных значениях  $x$ :

1 —  $x = 0,012$ , 2 —  $x = 0,030$ , 3 —  $x = 0,050$ , 4 —  $x = 0,100$

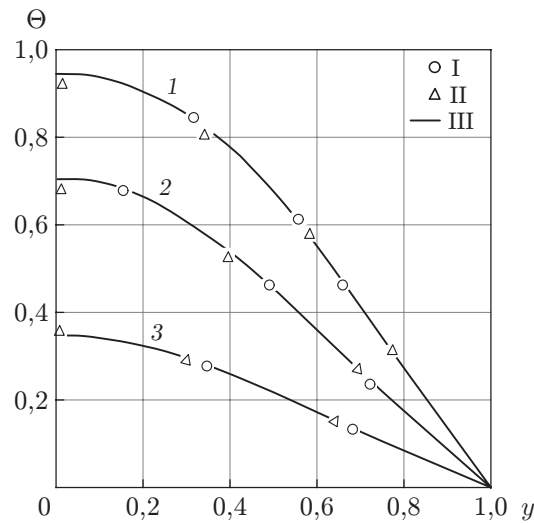


Рис. 4. Распределения температуры, полученные с использованием метода Л. В. Канторовича (I) и по формуле (3.1) при  $n = 3$  (II), а также точное решение [11] (III) при различных значениях  $x$ :  
 1 —  $x = 0,05$ , 2 —  $x = 0,10$ , 3 —  $x = 0,20$

**3. Анализ результатов решения.** Соотношение (2.19) с учетом (2.21) и найденных значений постоянных интегрирования представляет собой решение задачи (1.6)–(1.9) в третьем приближении. Сравнение результатов расчетов по формуле (2.19) с решением, полученным численным методом, показывает, что в диапазоне  $0,01 \leq x \leq 1,00$  их различие не превышает 2 % (см. рис. 2, 3). Следует отметить, что с увеличением  $D$  температура и температурные градиенты внутри движущейся жидкости увеличиваются. Это обусловлено увеличением диссипативного слагаемого в уравнении (1.6), принимающего наибольшие значения в областях максимального изменения скорости (см. рис. 1). Следует отметить, что с увеличением скорости область максимальной температуры в жидкости смещается к стенке канала (см. рис. 2, 3). Этот результат имеет большое практическое значение.

На рис. 4 приведены результаты решения задачи (1.6)–(1.9) при  $D = 0$  (без учета диссипации энергии) и следующих граничных условиях:

$$\Theta(y, 0) = 1, \quad \Theta(1, x) = 0.$$

В данном случае решение принималось в виде

$$\Theta(y, x) = \sum_{k=1}^n b_k(q)(1 - \xi^{2k}). \quad (3.1)$$

Сравнение результатов расчетов по формуле (3.1) в третьем приближении ( $n = 3$ ) с решением данной задачи с использованием метода Л. В. Канторовича в шестом приближении [15], а также с точным аналитическим решением [11] показывает, что при  $0,05 \leq x \leq \infty$  их различие не превышает 2,5 %. Заметим, что решение, полученное с использованием метода Л. В. Канторовича, и точное аналитическое решение в указанном диапазоне значений продольной переменной практически совпадают.

Ввиду простоты аналитических решений можно исследовать теплообмен по изотермам с определением скоростей их движения. На рис. 5 приведены изотермы  $\Theta(y, x) = \text{const}$  в координатах  $x, y$ , полученные из решения (2.15) (второе приближение) при  $A = 15$ ,  $D = 100$ . Видно, что, возникая на стенке трубопровода ( $y = 1$ ), изотермы движутся в на-

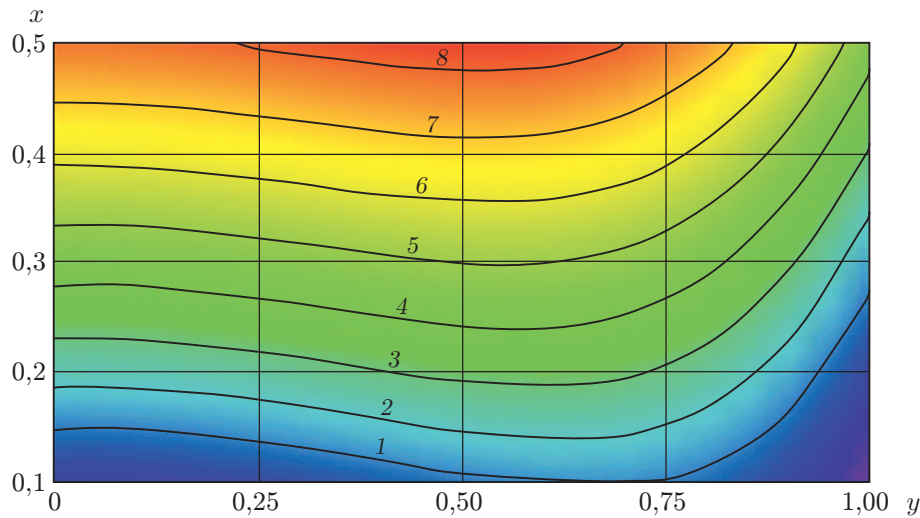


Рис. 5. Изотермы, полученные по формуле (2.15) при  $A = 15$ ,  $D = 100$ :  
 1 —  $\Theta = 4$ , 2 —  $\Theta = 5$ , 3 —  $\Theta = 6$ , 4 —  $\Theta = 7$ , 5 —  $\Theta = 8$ , 6 —  $\Theta = 9$ , 7 —  $\Theta = 10$ ,  
 8 —  $\Theta = 11$

правлении центра канала ( $y = 0$ ) и перпендикулярны его осевой линии. Это свидетельствует о бесконечно большой скорости их перемещения вблизи оси канала, так как скорость движения изотерм равна  $v = \Delta y / \Delta x$ .

Заметим, что в случае нестационарных задач теплопроводности для бесконечной пластины с переменными начальными и граничными условиями или с неоднородными граничными условиями, а также при наличии источников тепла в работах [8–10] с использованием рассмотренного выше метода получены точные аналитические решения в форме бесконечных рядов.

**Заключение.** С использованием дополнительной искомой функции и дополнительных граничных условий получено приближенное аналитическое решение краевой задачи о теплообмене в жидкости при переменной по продольной координате температуре стенки, а также с учетом тепла, выделяемого при трении жидкости о стенки. Применение дополнительной искомой функции обусловлено тем, что скорость распространения тепла бесконечна. Это следует из свойства параболического уравнения, описывающего теплообмен.

Дополнительные граничные условия найдены в таком виде, чтобы при их выполнении для искомого решения удовлетворялось исходное дифференциальное уравнение в граничных точках. Выполнение уравнения в граничных точках приводит к его выполнению внутри рассматриваемой области с точностью, определяемой числом приближений (числом используемых дополнительных граничных условий), что подтверждается большей точностью решения при увеличении числа приближений.

Поскольку отсутствует необходимость интегрирования уравнения в частных производных по радиальной пространственной переменной и проводится лишь интегрирование обыкновенного дифференциального уравнения относительно дополнительной искомой функции, данный метод можно использовать для решения краевых задач со сложными дифференциальными операторами в уравнениях, не допускающими разделения переменных (нелинейных, с переменными физическими свойствами среды, с учетом диссипации энергии и др.).

## ЛИТЕРАТУРА

1. **Лыков А. В.** Методы решения нелинейных уравнений нестационарной теплопроводности // Энергетика и транспорт. 1970. № 5. С. 109–150.
2. **Гудмен Т.** Применение интегральных методов в нелинейных задачах нестационарного теплообмена // Проблемы теплообмена: Сб. науч. тр. М.: Атомиздат, 1967. С. 41–96.
3. **Тимошпольский В. И.** Теоретические основы теплофизики и термомеханики в металлургии / В. И. Тимошпольский, Ю. С. Постольник, Д. Н. Андрианов. Минск: Беларус. наука, 2005.
4. **Глазунов Ю. Т.** Вариационные методы. М.; Ижевск: Ин-т компьютер. исслед., 2006.
5. **Беляев Н. М.** Методы нестационарной теплопроводности / Н. М. Беляев, А. А. Рядно. М.: Высш. шк., 1978.
6. **Кудряшов Л. И.** Приближенные решения нелинейных задач теплопроводности / Л. И. Кудряшов, Н. Л. Меньших. М.: Машиностроение, 1979.
7. **Кудинов И. В., Котова Е. В., Кудинов В. А.** Метод получения аналитических решений краевых задач на основе определения дополнительных граничных условий и дополнительных искомых функций // Сиб. журн. вычисл. математики. 2019. Т. 22, № 2. С. 153–165.
8. **Кудинов И. В.** Получение точных аналитических решений задач теплопроводности с переменными во времени граничными условиями // Вестн. Самар. гос. техн. ун-та. Сер. Техн. науки. 2016. № 4. С. 108–117.
9. **Кудинов И. В., Стефанюк Е. В., Скворцова М. П., Максименко Г. Н.** Об одном методе получения точных аналитических решений задач теплопроводности с источником теплоты // Изв. вузов. Чер. металлургия. 2017. Т. 60, № 11. С. 877–882.
10. **Кудинов И. В., Кудинов В. А., Котова Е. В., Еремин А. В.** Об одном методе решения нестационарных краевых задач // Инж.-физ. журн. 2017. Т. 90, № 6. С. 1387–1397.
11. **Петухов Б. С.** Теплообмен и сопротивление при ламинарном течении жидкости в трубах. М.: Энергия, 1967.
12. **Цой П. В.** Системные методы расчета краевых задач тепломассопереноса. М.: Изд-во Моск. энерг. ин-та, 2005.
13. **Канторович Л. В.** Об одном методе приближенного решения дифференциальных уравнений в частных производных // Докл. АН СССР. 1934. Т. 2, № 9. С. 532–534.
14. **Федоров Ф. М.** Граничный метод решения прикладных задач математической физики. Новосибирск: Наука. Сиб. издат. фирма, 2000.
15. **Карташов Э. М.** Теория тепломассопереноса: решение задач для многослойных конструкций / Э. М. Карташов, В. А. Кудинов, В. В. Калашников. М.: Юрайт, 2018.

*Поступила в редакцию 25/X 2019 г.,  
после доработки — 25/XII 2019 г.  
Принята к публикации 27/I 2020 г.*